

# О некоторых особенностях магнито-оптических резонансов в бегущей эллиптически поляризованной световой волне

Д. В. Бражников<sup>+,\*</sup>, А. В. Тайченачев<sup>+∇</sup>, А. М. Тумайкин<sup>+</sup>, В. И. Юдин<sup>+,\*</sup>,  
С. А. Зибров<sup>△□</sup>, Я. О. Дудин<sup>△□</sup>, В. В. Васильев<sup>△</sup>, В. Л. Величанский<sup>△</sup>

<sup>+</sup>Институт лазерной физики<sup>1)</sup> Сибирского отд. РАН, 630090 Новосибирск, Россия

<sup>\*</sup>Новосибирский государственный технический университет, 630092 Новосибирск, Россия

<sup>∇</sup>Новосибирский государственный университет, 630090 Новосибирск, Россия

<sup>△</sup>Физический институт им. П. Н. Лебедева РАН, 117924 Москва, Россия

<sup>□</sup>Московский инженерно-физический институт (государственный университет), 115409 Москва, Россия

Поступила в редакцию 8 декабря 2005 г.

Исследована зависимость нелинейных магнито-оптических резонансов поглощения в Ханле-конфигурации от эллиптичности бегущей световой волны. Обнаружено, что параметры этого резонанса (амплитуда, ширина, отношение амплитуды к ширине) существенным образом зависят от поляризации световой волны. Так, например, при изменении поляризации от линейной к оптимальной эллиптической амплитуда резонанса может возрастать более чем на порядок. Показано, что природа этого эффекта связана с доплеровским сдвигом частоты для атомов в газе. Теоретические результаты подтверждены экспериментами в парах Rb.

PACS: 33.55.Fi, 42.50.Gy, 42.62.Fi

**1.** Нелинейные интерференционные эффекты, основанные на атомарной когерентности, в последнее время вызывают особый, постоянно растущий интерес. Эти эффекты находят многочисленные применения в нелинейной спектроскопии сверхвысокого разрешения [1, 2], в метрологии (атомные часы, магнитометры) [3], в лазерном охлаждении [4] и в других современных направлениях лазерной физики.

Типичная форма резонанса индуцированного поглощения имеет вид узкого провала (электромагнитно-индукционная прозрачность, ЭИП) или пика (электромагнитно-индукционная абсорбция, ЭИА). Первый тип резонанса известен достаточно давно (см., например, обзоры [5, 6]) и поэтому лучше изучен, чем случай ЭИА-резонанса, который был обнаружен в 1998 г. при двухчастотном возбуждении [7] и затем в ханле-конфигурации [8]. В работах [9, 10] показано, что физической причиной ЭИА является перенос анизотропии (зеемановской когерентности) с возбужденного уровня на основной. В работе [11] была исследована возможность перехода от ЭИА к ЭИП для ханле-конфигурации в зависимости от деполяризующей релаксации в возбужденном состоянии.

В настоящей работе исследуются параметры магнито-оптического резонанса (амплитуда, шири-

на, отношение амплитуды к ширине) в зависимости от эллиптичности световой волны, резонансно возбуждающей в атомарном газе замкнутый оптический переход  $F_g \rightarrow F_e$  (где  $F_g$  и  $F_e$  – полные угловые моменты атома в основном ( $g$ ) и возбужденном ( $e$ ) состояниях, соответственно). Спектроскопическим сигналом является полное поглощение бегущей световой волны в зависимости от величины магнитного поля. В рассматриваемой конфигурации магнитное поле направлено вдоль волнового вектора световой волны (ханле-конфигурация). В отличие от более ранних работ (например, [8, 12, 13]), где исследован случай линейной поляризации, мы рассматриваем общий случай эллиптической поляризации электромагнитной волны. Особое внимание уделяется ЭИА-резонансу. Теоретически обнаружен ряд новых особенностей, обусловленных доплеровским эффектом для атомов в газе. Эти особенности нашли свое экспериментальное подтверждение для перехода  $F_g = 2 \rightarrow F_e = 3$  на  $D_2$ -линии в  $^{87}\text{Rb}$ .

**2.** Рассмотрим резонансное взаимодействие плоской бегущей эллиптически поляризованной световой волны:

$$\mathbf{E}(z, t) = E_0 \mathbf{e} \exp\{-i(\omega t - kz)\} + \text{с.с.}$$

с атомами, основное и возбужденное состояния которых образуют замкнутый оптический переход  $F_g \rightarrow$

<sup>1)</sup> e-mail: llf@laser.nsc.ru

$\rightarrow F_e$ . Здесь  $\omega$  – частота светового поля,  $E_0$  – его амплитуда, а единичный комплексный вектор эллиптической поляризации  $\mathbf{e}$  имеет вид

$$\begin{aligned}\mathbf{e} &= \mathbf{e}_x \cos(\varepsilon) + i\mathbf{e}_y \sin(\varepsilon) = \\ &= -\mathbf{e}_{+1} \cos(\varepsilon - \pi/4) - \mathbf{e}_{-1} \sin(\varepsilon - \pi/4),\end{aligned}$$

где  $\mathbf{e}_{\pm 1} = \mp(\mathbf{e}_x \pm i\mathbf{e}_y)/\sqrt{2}$  – орты циклического базиса. Параметр эллиптичности  $\varepsilon$  определен через отношение длин малой полуоси эллипса к большой как  $|\tan(\varepsilon)|$  в интервале  $-\pi/4 \leq \varepsilon \leq \pi/4$ , а его знак задает направление вращения мгновенного вектора напряженности светового поля (см. рис.1а).

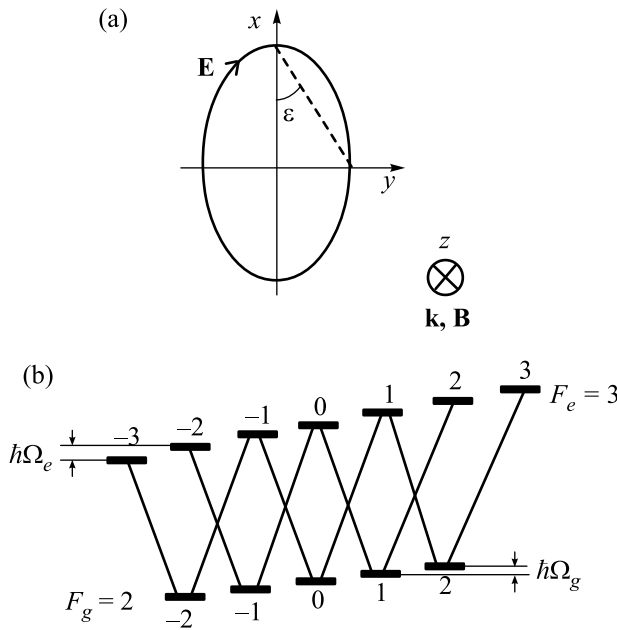


Рис.1. (а) Взаимная ориентация эллипса поляризации, волнового вектора световой волны и магнитного поля; (б) схема светоиндуцированных переходов

Магнитное поле имеет вид  $\mathbf{B} = B \mathbf{e}_0$ , где  $\mathbf{e}_0$  – единичный вектор, направленный вдоль  $\mathbf{k}$ . Гамильтониан взаимодействия атома с внешним полем есть  $\hat{H} = \hat{H}_B + \hat{H}_E$ , где  $\hat{H}_B$  – гамильтониан взаимодействия атома с магнитным полем,  $\hat{H}_E$  – гамильтониан взаимодействия атома с бегущей электромагнитной волной:

$$\hat{H}_E = \hbar R \exp\{-i(\omega t - kz)\} \hat{V} + \text{h.c.}, \quad (1)$$

$$\hat{H}_B = \sum_{a=e,g} \hbar \Omega_a \hat{F}^a, \quad (2)$$

где  $R = -dE_0/\hbar$  – частота Раби ( $d$  – приведенный матричный элемент дипольного момента атома),  $\text{h.c.}$

означает эрмитово сопряжение,  $\Omega_a = \mu_B g_a B_0/\hbar$  соответствует расщеплению зеемановских подуровней ( $g_a$  – фактор Ланде,  $\mu_B$  – магнетон Бора),  $\hat{F}^a$  – операторы полного углового момента уровней, оператор  $\hat{V}$  выражается через коэффициенты Клебша–Гордана следующим образом:

$$\hat{V} = \sum_{q=\pm 1, m_e, m_g} C_{F_g, m_g; 1q}^{F_e, m_e} e^q | F_e, m_e \rangle \langle m_g, F_g |,$$

где  $e^{+1} = -\cos(\varepsilon - \pi/4)$  и  $e^{-1} = -\sin(\varepsilon - \pi/4)$  – компоненты единичного комплексного вектора эллиптической поляризации в циклическом базисе. Обобщенные оптические уравнения Блоха на стационарную матрицу плотности во вращающемся базисе имеют вид [11]

$$\begin{aligned}(\gamma_{eg} - i\delta) \hat{\rho}^{eg} &= -iR (\hat{V} \hat{\rho}^g - \hat{\rho}^e \hat{V}) - \\ &- i(\Omega_e \hat{F}^e \hat{\rho}^{eg} - \Omega_g \hat{\rho}^{eg} \hat{F}^g),\end{aligned} \quad (3)$$

$$(\Gamma + \gamma_r) \hat{\rho}^e = -iR (\hat{V} \hat{\rho}^{ge} - \hat{\rho}^{eg} \hat{V}^+) - i\Omega_e [\hat{F}^e, \hat{\rho}^e], \quad (4)$$

$$\Gamma [\hat{\rho}^g - \hat{\rho}_0^g] = \gamma_r \{\hat{\rho}^e\} - iR (\hat{V}^+ \hat{\rho}^{eg} - \hat{\rho}^{ge} \hat{V}) - i\Omega_g [\hat{F}^g, \hat{\rho}^g]. \quad (5)$$

Здесь матрицы плотности  $\hat{\rho}^g$  и  $\hat{\rho}^e$  описывают распределение по магнитным подуровням основного ( $g$ ) и возбужденного ( $e$ ) состояний, соответственно, а матрицы  $\hat{\rho}^{ge} = \hat{\rho}^{eg\dagger}$  – оптические когерентности (во вращающемся базисе). Изотропное распределение  $\hat{\rho}_0^g$  по магнитным подуровням основного состояния в отсутствие светового поля нормировано условием  $\text{Tr}\{\hat{\rho}_0^g\} = 1$ . Отстройка частоты светового поля от собственной частоты перехода  $\omega_0$  с учетом додлеровского сдвига  $kv$  равна  $\delta = \omega - \omega_0 - kv$ , где  $v$  – проекция скорости атома на ось  $z$ . Релаксационные процессы описываются константами релаксации:  $\gamma_r$  – скорость радиационной релаксации возбужденного состояния, константа  $\Gamma$  отвечает за пролетную релаксацию,  $\gamma_{eg} = \gamma_r/2 + \Gamma$  – скорость релаксации оптических когерентностей, оператор  $\gamma_r \{\hat{\rho}^e\}$  описывает приход атомов с верхнего возбужденного уровня на основной вследствие спонтанной релаксации. В данной работе столкновительная деполяризация не рассматривается.

3. Система (3)–(5) решалась численно. Исследовался сигнал полного поглощения бегущей световой волны в оптически тонкой среде с учетом максвелловского распределения по скоростям. Этот сигнал имеет достаточно сложную форму и состоит из структур разной ширины (см. рис.2). Мы будем кон-

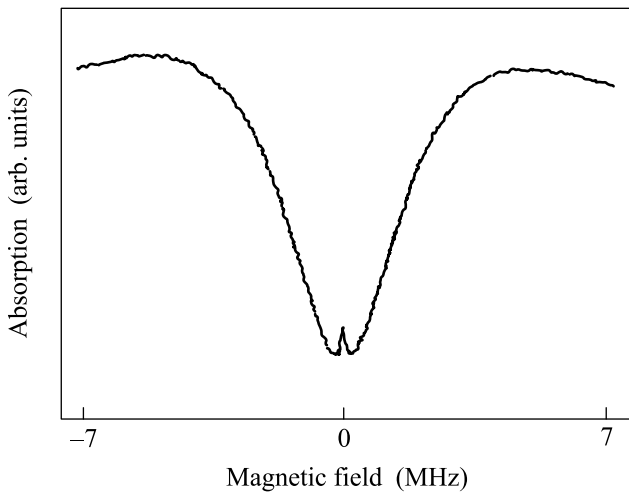


Рис.2. Пример магнито-оптического ЭИА-резонанса. Параметры пучка: диаметр 20мм, мощность 1.9мВт,  $\varepsilon = 0$

центрировать внимание на наиболее узкой центральной структуре. Расчеты проводились в условиях точного однофотонного резонанса  $\omega = \omega_0$ .

Особое внимание было уделено ЭИА-резонансу на закрытом оптическом переходе  $F_g = 2 \rightarrow F_e = 3$  (рис.1б). В качестве примера на рис.3 изображены два магнито-оптических ЭИА-резонанса для случая линейной ( $\varepsilon = 0$ ) и эллиптической ( $\varepsilon = \pi/9$ ) поляризаций световой волны (частота Раби  $R = 5\gamma_{eg}$ , константа пролетной релаксации  $\Gamma = 5 \cdot 10^{-3}\gamma_{eg}$ , скорость спонтанной релаксации  $\gamma_r = 2\gamma_{eg}$ ). Как следует из рисунка, параметры нелинейных резонансов существенным образом зависят от поляризации бегущей волны.

4. Для проверки теоретических результатов был проведен соответствующий эксперимент. Схема экспериментальной установки и атомных уровней представлена на рис.4. Источником резонансного излучения являлся инжекционный лазер с внешним резонатором, собранный по схеме Литрова (ECDL). Конструкция лазера позволяла плавно перестраивать частоту излучения в широком диапазоне (до 40 ГГц). Для исследования характеристик резонанса электромагнитно-индуктированной абсорбции лазер настраивался на оптический переход  $5^2S_{1/2}, F = 2 \rightarrow 5^2P_{3/2}, F' = 3$  ( $D_2$ -линия,  $\lambda = 780$  нм). Малая часть выходного излучения отщеплялась при помощи делительной пластины (BS) и направлялась в систему стабилизации частоты. Схема и принцип работы системы стабилизации описаны в [14]. После делительной пластины излучение лазера последовательно проходило через полуволновую пластинку ( $\lambda/2$ ) и кристаллический поляризатор (Polarizer), что позво-

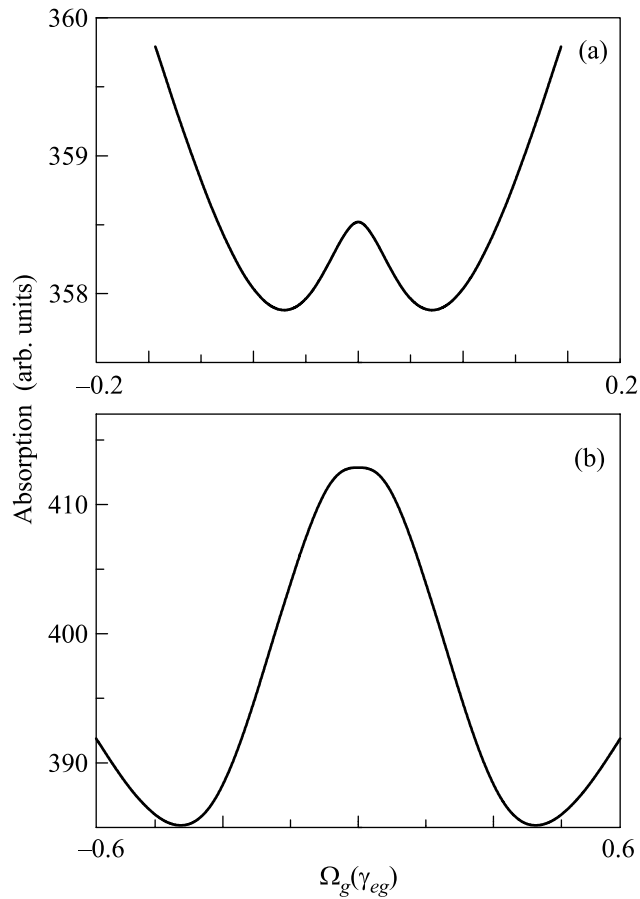


Рис.3. Магнито-оптический ЭИА-резонанс. (а) Линейная поляризация ( $\varepsilon = 0$ )  $A = 0.65$ ,  $W = 0.06\gamma_{eg}$ ,  $A/W = 10.8\gamma_{eg}^{-1}$ ; (б) эллиптическая поляризация ( $\varepsilon = \pi/9$ )  $A = 27.74$ ,  $W = 0.4\gamma_{eg}$ ,  $A/W = 69.35\gamma_{eg}^{-1}$

ляло плавно регулировать мощность излучения. Степень эллиптичности резонансного излучения плавно регулировалась четвертьволновой пластинкой ( $\lambda/4$ ), расположенной непосредственно после поляризатора.

Эксперимент проводился со стеклянной цилиндрической ячейкой (длиной 60 мм, диаметром 55 мм), содержащей изотопически чистый атомарный  $^{87}\text{Rb}$ . Ячейка помещалась внутрь соленоида, который позволял изменять продольное магнитное поле. В случае  $^{87}\text{Rb}$  расщепление магнитных подуровней равно  $B \times 0.7\text{ МГц/Гаусс}$ . Для изоляции от внешнего лабораторного поля ячейка помещалась внутрь трех концентрических цилиндрических магнитных экранов. Температура ячейки равнялась  $20^\circ\text{C}$ . Мощность лазерного излучения на входе в ячейку составляла 3 мВт при диаметре пучка, равном 5 мм. Интенсивность прошедшего через ячейку излучения как функция продольного магнитного поля регистрировалась фотодиодом, сигнал с которого наблюдался на экране осциллографа.

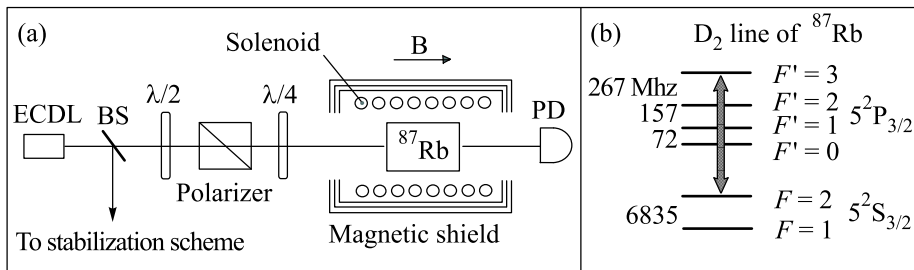


Рис.4. (а) Схема экспериментальной установки для наблюдения резонанса наведенного поглощения в Ханле-конфигурации. ECDL – полупроводниковый лазер с внешним резонатором; BS – делительная пластина; PD – фотодетектор. (б) Схема атомных уровней для  $D_2$  линии  $^{87}\text{Rb}$

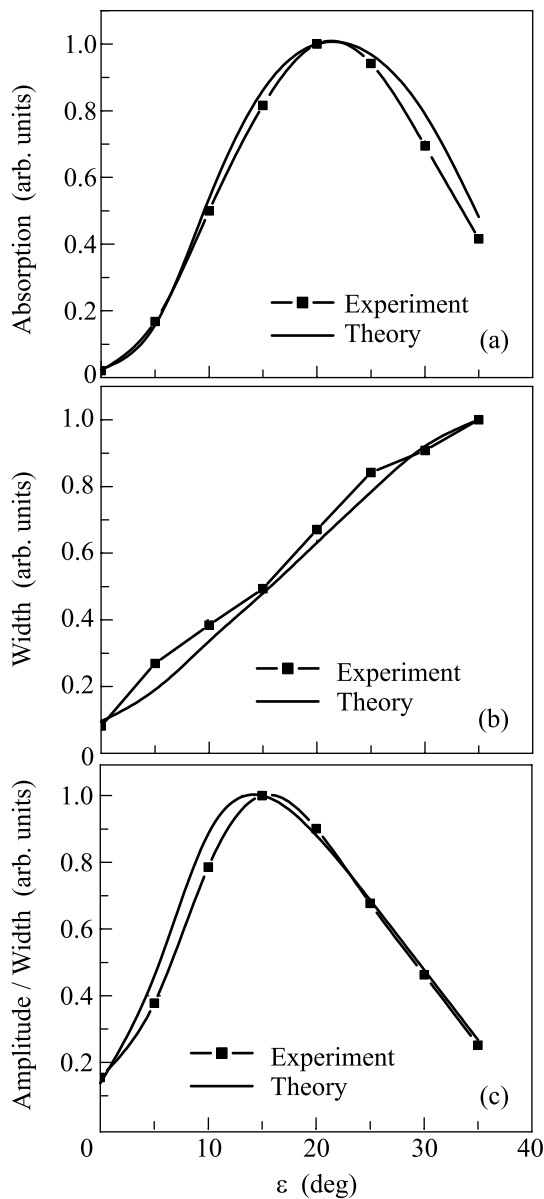


Рис.5. Амплитуда (а), ширина (б) и отношение амплитуды к ширине (с) ЭИА-резонанса в зависимости от эллиптичности (град) поляризации световой волны

На рис.5 представлены теоретические и экспериментальные зависимости параметров (амплитуда, ширина, отношение амплитуды к ширине) магнито-оптического ЭИА-резонанса как функции эллиптичности  $\varepsilon$  на переходе  $F_g = 2 \rightarrow F_e = 3$  в  $D_2$ -линии  $^{87}\text{Rb}$ . Как видно из рисунков, имеет место хорошее качественное согласие между теорией и экспериментом. Полученные зависимости обнаруживают ряд принципиальных особенностей в случае эллиптической поляризации. Амплитуда и отношение амплитуды к ширине в зависимости от эллиптичности имеют экстремумы при некоторой эллиптической поляризации  $\varepsilon_{\max} \neq 0$ . В то время, как в случае неподвижных атомов, как показывают расчеты, максимум соответствует линейной поляризации  $\varepsilon_{\max} = 0$ . Таким образом, в случае термализованного газа атомов ситуация меняется радикальным образом. Этот эффект наиболее ярко выражен в достаточно сильных световых полях, когда амплитуда центрального резонанса в точке экстремума  $\varepsilon_{\max}$  на один-два порядка превышает амплитуду резонанса для линейной поляризации  $\varepsilon = 0$  (в 40 раз на рис.5а). Полученные результаты позволяют утверждать, что наличие максимума амплитуды ЭИА-резонанса при некоторой эллиптической поляризации  $\varepsilon_{\max} \neq 0$  связано с доплеровским сдвигом частоты и движением атомов в газе. Действительно, различные скоростные группы атомов в силу эффекта Доплера имеют различные однофотонные отстройки. При этом, как показано в [11], контур линии в случае эллиптической поляризации деформируется (приобретает асимметрию и сдвиг). В результате интегральный (усредненный) по всем скоростным группам контур линии приобретает качественно новые особенности по отношению к случаю неподвижных атомов. Некоторые подобные эффекты были описаны ранее: например, доплеровское сужение линий поглощения в трехуровневой  $\Lambda$ -системе [15]. Существенно новым моментом данной работы является обнаружение влияния движения атомов в

газе на зависимость амплитуды ЭИА-резонанса от эллиптичности светового поля.

Следует также отметить, что, в отличие от ярких переходов, для темных переходов ( $F_g = 1 \rightarrow F_e = 1$ ,  $F_g = 1 \rightarrow F_e = 0$  и  $F_g = 2 \rightarrow F_e = 1$ ), как показывают наши расчеты и эксперименты с  $^{87}\text{Rb}$  и  $^{85}\text{Rb}$ , экстремум зависимости амплитуды ЭИП-резонанса от эллиптичности наблюдается при линейной поляризации  $\varepsilon = 0$ , то есть как и для неподвижных атомов.

**6.** В работе представлены теоретические и экспериментальные исследования магнито-оптического нелинейного резонанса ЭИА в зависимости от поляризации (эллиптичности  $\varepsilon$ ) бегущей световой волны. Был получен ряд принципиальных результатов. В частности, обнаружено, что амплитуда резонанса и отношение амплитуды к ширине могут иметь ярко выраженный максимум не при линейной поляризации ( $\varepsilon = 0$ ), а при некоторой эллиптической ( $\varepsilon \neq 0$ ). Амплитуда нелинейного резонанса при оптимальной эллиптичности  $\varepsilon_{\max}$  может возрастать в десятки раз по сравнению со случаем линейной поляризации  $\varepsilon_{\max} \neq 0$ . Таким образом, параметры магнито-оптического ЭИА-резонанса могут быть существенно (на один-два порядка) улучшены только за счет изменения эллиптичности бегущей световой волны. Теоретические расчеты качественно подтверждены экспериментальными данными (на  $D_2$ -линии  $^{87}\text{Rb}$ :  $5^2S_{1/2}, F = 2 \rightarrow 5^2P_{3/2}, F' = 3$ ;  $\lambda = 780$  нм). Эти результаты могут иметь ряд интересных применений, например, для создания магнитометров нового поколения. Часть полученных результатов была представлена на конференции ICONO/LAT-2005 [16].

Работа была выполнена при поддержке грантов Российского фонда фундаментальных исследований (# 04-02-16488, # 05-02-17086 и # 05-08-01389). Д.В.Б. был поддержан грантом некоммерческого фонда “Династия” и грантами НГТУ (# 048-НСГ-04 и # 018-НСГ-05).

1. M. Stahler, R. Wynands, S. Knappe et al., Opt. Lett. **27**, 1472 (2002).
2. A. Akulshin, A. Celikov, and V. Velichansky, Opt. Commun. **84**, 139 (1991).
3. J. Vanier, Appl. Phys. B **81**, 421 (2005).
4. A. Aspect, E. Arimondo, R. Kaiser et al., Phys. Rev. Lett. **61**, 826 (1988).
5. E. Arimondo, in *Progress in Optics*, Ed. E. Wolf, Elsevier, North-Holland, Amsterdam, Vol. XXXV, 1996, p. 257.
6. Б. Д. Агапьев, М. Б. Горный, Б. Г. Матисов, Ю. В. Рождественский, УФН **163**(9), 1 (1993).
7. A. M. Akulshin, S. Barreiro, and A. Lezama, Phys. Rev. A **57**, 2996 (1998).
8. F. Renzoni, S. Cartaleva, G. Alzetta, and E. Arimondo, Phys. Rev. A **63**, 065401 (2001).
9. А. В. Тайченачев, А. М. Тумайкин, В. И. Юдин, Письма в ЖЭТФ **69**, 776 (1999).
10. A. V. Taichenachev, A. M. Tumaikin, and V. I. Yudin, Phys. Rev. A **61**, 011802(R) (2000).
11. D. V. Brazhnikov, A. V. Taichenachev, A. M. Tumaikin, and V. I. Yudin, J. Opt. Soc. Am. B **22**, 57 (2005).
12. Y. Dancheva, G. Alzetta, S. Cartaleva et al., Opt. Commun. **178**, 103 (2000).
13. F. Renzoni, C. Zimmermann, P. Verkerk, and E. Arimondo, J. Opt. B: Quantum Semiclass. Opt. **3**, S7 (2001).
14. А. В. Яровицкий, О. Н. Прудников, В. В. Васильев и др., Квантовая электроника **34**, 341 (2004).
15. А. В. Тайченачев, А. М. Тумайкин, В. И. Юдин, Письма в ЖЭТФ **72**, 173 (2000).
16. D. V. Brazhnikov, A. V. Taichenachev, A. M. Tumaikin et al., *Magneto-optical resonances in elliptically polarized light field*. ICONO/LAT-2005, г. Санкт-Петербург, Technical Digest IFM19. Тезисы будут опубликованы в SPIE Proceedings.